

大阪工業大学 正員 岡村宏一
 東洋技研コンサルタント 正員 吉田公憲
 東洋技研コンサルタント 正員 ○石川一美

1. まえがき；近年、土木の分野においても、構造物の大型化にともない、薄肉鋼板の耐荷力の研究が重要視される傾向にあり、特に水中構造物などでは、軸荷重と同時に横荷重を受ける鋼板の耐荷力についての知見が必要になると思われる。このような組合せ荷重を受ける問題においては、いずれの荷重の変動をより重視するかによって、解析上の荷重の仮定が異なってくる。一般に弹性限界から崩壊にいたる荷重の状態を示すと次のようになる。

$$\text{荷重状態} \left\{ \begin{array}{l} \text{(I) 面圧(先行荷重) + 圧縮力増加} \\ \text{(II) 圧縮力(先行荷重) + 面圧増加} \\ \text{(III) (面圧+圧縮力)増加} \end{array} \right.$$

すなわち、この種の板の荷重状態には、面圧あるいは圧縮力が先行荷重として作用したのち、圧縮力あるいは面圧が増加し弹性限界をへて、崩壊にいたる経路(I), (II)と、面圧及び圧縮力が共に増加していき、弹性限界から崩壊に達する経路(III)の3種類のものが考えられる。本文では、このうち荷重状態(I), (II)を持つ板についての基本的なデータを報告する。ところで、筆者はすでに、荷重形態(I)を持つ長方形鋼板についての若干の報告をおこない、任意の荷重の組合せに対する、弹性限界荷重、ならびに終局強度を算定するための近似式を提案した。(下記の文献3), (4), (5))

したがって今回は、荷重状態(II)についての解析をおこなった。この場合、弹性限界荷重については、前述の荷重状態(I)についての成果をそのまま適用できるので、ここでは、特に弾塑性解析の結果について報告する。

解法の記述は紙面の都合で省略するが、下記の文献1), 2)を参照されたい。
 2. 解析データ；図-1に、本文で扱った板の諸条件を示す。今回の解析は正方形板についておこなったもので、初期たわみの大きさ(w_0)は板厚の $1/10$ とした。図-2は、先行荷重として横荷重を受けたのちに圧縮を受ける(荷重状態(I))板について、圧縮力(P_c)と板の中央点のたわみ(w)の関係、ならびに各荷重段階における塑性域の進展の模様を示したもので、以下に述べる、荷重状態(II)の場合と比較するためのデータである。図-3は、今回行なった荷重状態(II)についての解析データのうち、横荷重(\bar{q})と板の中央点のたわみ(w)の関係、および各荷重段階における塑性域の進展の模様を図-2と同様の形で示したものである。

荷重状態(I), (II)に対応する、双方それぞれのデータの間に明るかな差異が見出される。すなわち、(I)の場合(図-2)には、弹性限界荷重が耐荷力の判定の基準となるが、(II)の場合(図-3)には、先行荷重である圧縮力の比率が、かなり大きくなつても($0 \leq \bar{q} \leq 0.7$)弹性限界以後の荷重の増大が見られる。これは、(I)の場合と異なり荷重の増加にともなつ

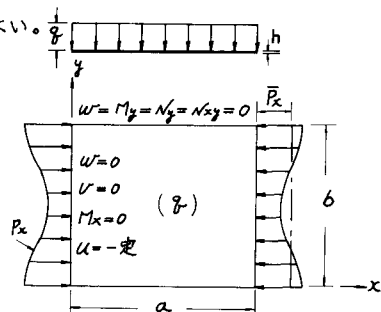
1) 岡村, 吉田: 大たわみ, もよび(ア)の崩壊を考慮した長方形鋼板の弾塑性解析

2) 岡村, 吉田: 圧縮を受ける長方形鋼板の終局強度

3) 岡村, 吉田, 石川: 面圧と圧縮を受ける長方形鋼板の弾塑性強度

4) 岡村, 吉田, 石川: 面圧と圧縮を受ける長方形鋼板の終局強度

5) 岡村, 吉田, 石川: 面圧と圧縮を受ける長方形鋼板の終局強度



q : 等分布荷重 x, y : 方向座標

P_c : 圧縮力の強度 $\lambda = a/h$

\bar{q} : P_c の平均値

h : 板厚 μ アソン比 $\lambda = 0.3$

初期たわみ

$w_0 = \bar{q} \frac{a}{h} \sin \frac{\pi x}{a} \sin \frac{\pi y}{h}$

図-1

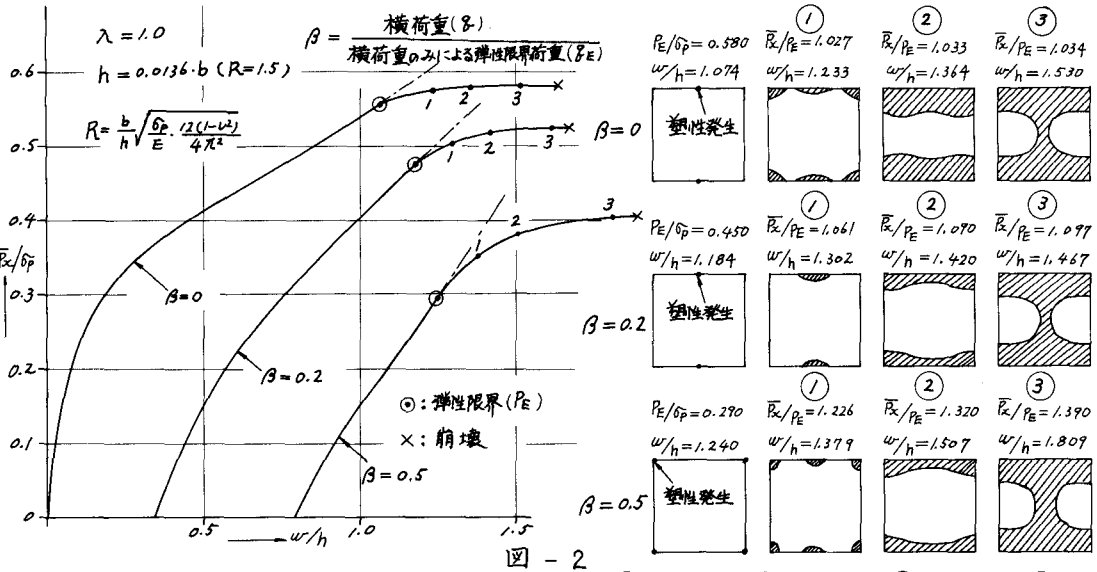


図 - 2

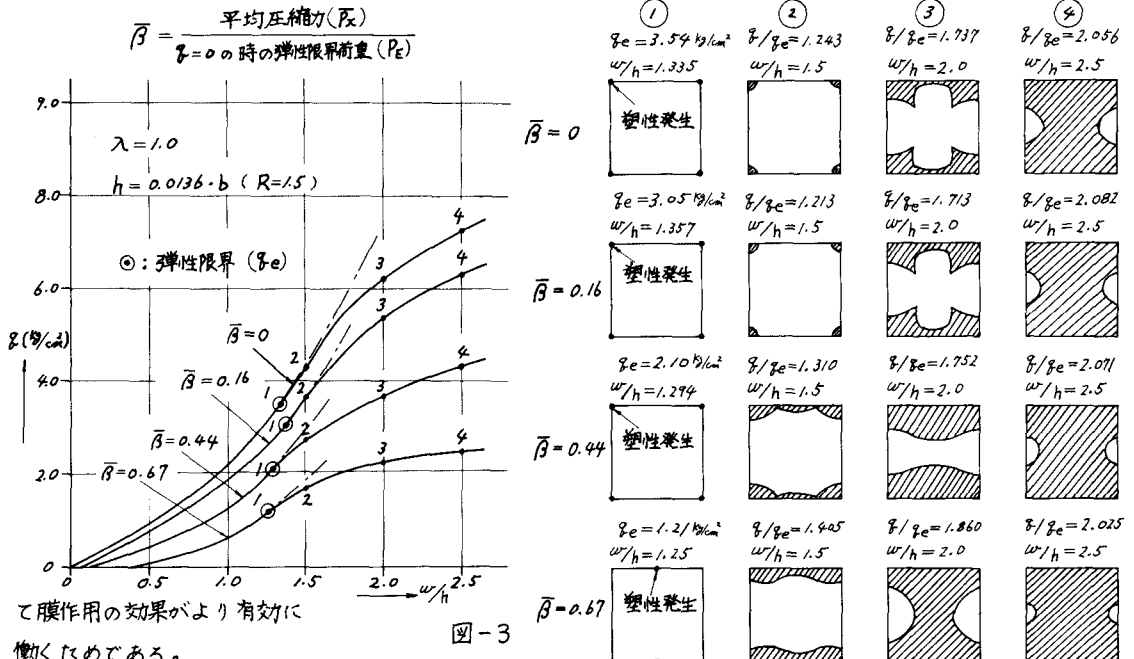


図 - 3

て膜作用の効果がより有効に

働くためである。

